

TU Dortmund

# V402 - Dispersion am Glasprisma

Markus Stabrin  
markus.stabrin@tu-dortmund.de

Kevin Heinicke  
kevin.heinicke@tu-dortmund.de

Versuchsdatum: 21. Mai 2013

Abgabedatum: 26. Mai 2013

# 1 Einleitung

Durch die Wechselwirkung einer Lichtwelle mit den Elektronen der Materie werden die Ausbreitungsgeschwindigkeiten  $v$  des Lichtes kleiner als die Vakuumlichtgeschwindigkeit  $c$ . Es wird sich herausstellen, dass die Geschwindigkeit von der Wellenlänge des Lichtes abhängt. Dieses Phänomen wird als Dispersion bezeichnet.

## 2 Theorie

### 2.1 Brechung, Brechungsindex und Dispersionskurve

Tritt ein Lichtstrahl schräg in Materie ein, so erfährt er durch die Änderung der Geschwindigkeit an der Grenzfläche eine Richtungsänderung.

Dies wird als Brechung bezeichnet und wird durch den Brechungsindex  $n$  beschrieben. Dieser ist definiert durch das Verhältnis der beiden Lichtgeschwindigkeiten.

$$n := \frac{v_1}{v_2} \quad (1)$$

Für die Ausbreitungsgeschwindigkeit gilt:

$$v = \lambda \frac{\omega}{2\pi} \quad (2)$$

Daraus folgt, dass auch der Brechungsindex  $n$  eine frequenzabhängige bzw. wellenlängenabhängige Größe ist und somit eine Funktion im Bereich des sichtbaren Lichtes.

Dies wird als Dispersionskurve bezeichnet.

$$n = f(\lambda) \quad (3)$$

### 2.2 Das Huygens'sche Prinzip

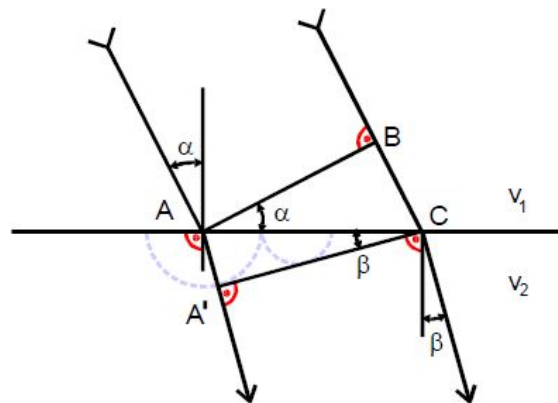


Abbildung 1: Das Huygens'sche Prinzip und die daraus resultierenden wichtigen Größen für die Herleitung des Snelliusschen Brechungsgesetzes [?]

Jeder Punkt einer bestehenden Wellenfläche kann als Zentrum einer neuen kugelförmigen „Elementarwelle“ aufgefasst werden. Die Einhüllende aller Elementarwellen gibt die Wellenfront für einen späteren Zeitpunkt. Durch die Geschwindigkeitsänderung an einer Grenzfläche kommt so eine Richtungsänderung zustande (Abb. 1).

In der Zeit  $T = \overline{BC}/v_1$  erreicht der Punkt B die Grenzfläche. In der Zeit hat die Welle im Punkt A jedoch bereits die Strecke  $Tv_2 = \overline{AA'}$  zurückgelegt. Wird dies über die Winkel in Beziehung gesetzt, so ergibt sich:

$$\frac{\sin(\alpha)}{\sin(\beta)} = \frac{v_1}{v_2} \quad (4)$$

Aus Gleichung (1) ergibt sich damit das Snelliussche Brechungsgesetz:

$$\frac{\sin(\alpha)}{\sin(\beta)} = n \quad (5)$$

### 2.3 Dispersionsgleichung

Wie bereits in Kapitel 2.1 festgestellt wurde, ist der Brechungsindex von der Frequenz bzw. der Wellenlänge des Lichts abhängig. Dies wird als Dispersion bezeichnet. Die Dispersionskurve eines Materials ist von Interesse, da durch Kombination unterschiedlicher Linsen mit verschiedenen Dispersionskurven die chromatische Aberration zu kompensieren.

Es wird nun die Dispersionsgleichung hergeleitet. Um ein gültiges Modell benutzen zu können, ohne auf die Quantentheorie zurückgreifen zu müssen, darf Licht und Materie nicht in Resonanz miteinander treten können. Dies ist bei Gläsern im sichtbaren Spektralbereich gegeben. Tritt eine ebene Lichtwelle mit der elektrischen Feldstärke

$$\vec{E} = \vec{E}_0 \exp(i\omega t) \quad (6)$$

auf ein Material, so wirkt dadurch eine periodische Kraft

$$\vec{F}_e = q_h \vec{E} \quad (7)$$

auf die Ladung  $q_h$ . Zudem wirkt der Auslenkung der Ladungsträger eine rücktreibende Kraft  $\vec{F}_r$  entgegen, welche proportional zur Auslenkung ist. Weiterhin wirkt auf die periodische Bewegung der Teilchen eine Art Reibungskraft  $\vec{F}_d$  proportional zur Geschwindigkeit. Es ergibt sich hieraus eine DGL für  $x_h$ . Diese wird mit  $N_h q_h / m_h$  erweitert um diese durch die Polarisierung  $\vec{P}_h$  auszudrücken.

Es ergibt sich:

$$\frac{d^2 \vec{P}_h}{dt^2} + \frac{f_h}{m_h} \frac{d\vec{P}_h}{dt} + \frac{a_h}{m_h} \vec{P}_h = \frac{N_h q_h^2}{m_h} \vec{E}_0 \exp(i\omega t) \quad (8)$$

Dies ist die bekannte DGL für eine erzwungene Schwingung. Die Lösung lautet:

$$\vec{P}_h = \frac{1}{\omega_h^2 - \omega^2 + i \frac{f_h}{m_h} \omega} \frac{N_h q_h^2}{m_h} \vec{E}_0 \exp(i\omega t) \quad (9)$$

Nun muss noch über alle  $h$  summiert werden um die Gesamte Polarisation zu erhalten. Benutzt man nun, dass  $\vec{P} = (\epsilon - 1)\epsilon_0\vec{E}$  ist und  $n^2 = \epsilon$  erhält man einen Zusammenhang zwischen dem Brechungsindex und der Frequenz bzw. der Wellenlänge. Es folgt:

$$\tilde{n}^2 = 1 + \sum_h \frac{1}{\omega_h^2 - \omega^2 + i \frac{f_h}{m_h} \omega} \frac{N_h q_h^2}{m_h \epsilon_0} \quad (10)$$

$\tilde{n}$  ist mit  $\tilde{n} = n(1 - ik)$  als komplexe gröÙe dargestellt. Dabei ist  $k$  die Absorptionskonstante des Lichtes im jeweiligen Medium und  $n$  der Brechungsindex. Wird dies in die Gleichung einer ebenen Welle eingesetzt erhält man:

$$\frac{E(x, t)}{E_0} = \exp(i\omega(t - \frac{xn}{c})) \cdot \exp(-\omega \frac{n}{c} kx) \quad (11)$$

Wird nun  $\omega = \frac{2\pi c}{\lambda}$  gesetzt, ergibt sich ein Exponentialfaktor  $-2\pi kx/\lambda$ , welcher die Abnahme der Amplitude mit zunehmender Schichtdicke beschreibt. Die Dispersionsgleichungen erhält man, wenn Gl. (10) in Real- und Imaginärteil zerlegt wird.

$$\begin{aligned} \text{Re}(\tilde{n}^2) = n^2(1 - k^2) &= 1 + \sum_n \frac{N_h q_h^2 (\omega_h^2 - \omega^2)}{\epsilon_0 m_h ((\omega_h^2 - \omega^2)^2 + \frac{f_h^2}{m_h^2} \omega^2)} \\ \text{Im}(\tilde{n}^2) = -2n^2 k &= \sum_n \frac{N_h q_h^2 f_h \omega}{\epsilon_0 m_h^2 ((\omega_h^2 - \omega^2)^2 + \frac{f_h^2}{m_h^2} \omega^2)} \end{aligned} \quad (12)$$

Bei  $\omega_h = \omega$  tritt Resonanz und damit eine besonders starke Absorption auf. Da der Bereich nur außerhalb der Resonanzstelle betrachtet werden soll ( $n^2 k \approx 0$ ), geht Gleichung (12) über in:

$$n^2(\omega) = 1 + \sum_n \frac{N_h q_h^2}{4\pi^2 c^2 \epsilon_0 m_h} \frac{\lambda^2 \lambda_h^2}{\lambda^2 - \lambda_h^2} \quad (13)$$

Es wird nun angenommen, dass nur die Absorptionsstelle  $\lambda_1$  existiert. Nun kann die Gleichung nach den Potenzen von  $\lambda/\lambda_1$  entwickelt werden.

Für  $\lambda \gg \lambda_1$  ergibt sich:

$$n^2(\lambda) = 1 + \frac{N_1 q_1^2 \lambda_1^2}{4\pi^2 c^2 \epsilon_0^2 m_1} \left( 1 + \left(\frac{\lambda_1}{\lambda}\right)^2 + \left(\frac{\lambda_1}{\lambda}\right)^4 + \dots \right) \quad (14)$$

Vereinfacht lässt sich schreiben:

$$n^2(\lambda) = A_0 + \frac{A_2}{\lambda^2} + \frac{A_4}{\lambda^4} + \dots \quad (15)$$

Für  $\lambda \ll \lambda_1$  ergibt sich analog:

$$n^2(\lambda) = 1 - A'_2 \lambda^2 - A'_4 \lambda^4 - \dots \quad (16)$$

Alle Koeffizienten  $A'_{2i}$  und  $A_{2i}$  mit  $i > 0$  sind positiv.

Diese Gleichungen sind geeignet um die Dispersion von Gläsern im sichtbaren Spektralbereich zu beschreiben.

Der Verlauf der Kurven ist in Abb. 2 dargestellt.

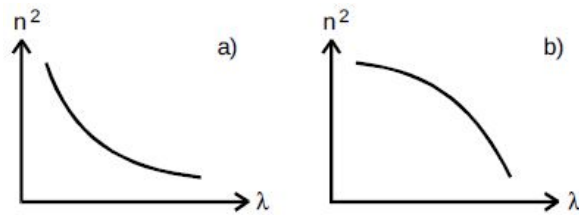


Abbildung 2: Gestalt der Dispersionskurven. a) für  $\lambda \gg \lambda_1$ , b) für  $\lambda \ll \lambda_1$  [1].

Dies ist der Fall für normale Dispersion, da der Brechungsindex mit zunehmender Wellenlänge sinkt. Bei Anomaler Dispersion wäre es der umgekehrte Fall und der Brechungsindex würde zunehmen. Dies wird in der Nähe von Absorptionsstellen  $\lambda_i$  beobachtet. Eine Beschreibung ist nicht durch die Gleichungen 15 und 16 möglich.

## 2.4 Abbesche Zahl

Die Abbesche Zahl ist eine weitere wichtige Größe in der Optik. Je kleiner die Zahl ist, umso größer ist die Dispersion. Sie stellt damit eine grobe klassifizierung von Glassorten da. Daher wird sie für die Konstruktion einfacher Linsensysteme verwendet, um deren Aberration zu verringern.

Es gilt:

$$v = \frac{n_D - 1}{n_F - n_C} \quad (17)$$

Die Größen  $n_D$ ,  $n_F$  und  $n_C$  stellen die Brechungsindizes für die Wellenlängen der Fraunhoferschen Linien dar:  $\lambda_C = 656 \text{ nm}$ ,  $\lambda_D = 589 \text{ nm}$  und  $\lambda_F = 486 \text{ nm}$ .

## 2.5 Auflösungsvermögen eines Prismen-Spektralapparates

Das Auflösungsvermögen gibt an, wie gering der Wellenlängenunterschied  $\Delta\lambda$  zweier benachbarter Spektrallinien werden darf, sodass sie vom Gerät gerade noch getrennt werden können.

Es ergibt sich der Ausdruck (18) für das Auflösungsvermögen  $A$ .

$$A := \frac{\lambda}{\Delta\lambda} \quad (18)$$

Dabei ist  $\lambda$  die gemittelte Wellenlänge der beiden Spektrallinien.

Fallen zwei Spektrallinien mit den Wellenlängen  $\lambda$  und  $\lambda + \Delta\lambda$  in das Prisma, werden sie in leicht unterschiedliche Richtungen gebrochen. Eine trennung der beiden Linien soll genau dann noch möglich sein, wenn das Helligkeitsmaximum der einen gerade in das erste Minium der anderen fällt.

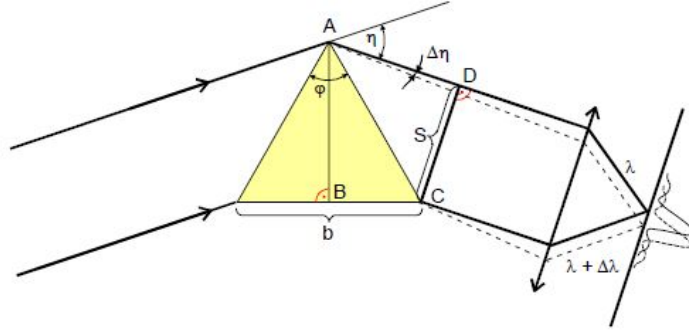


Abbildung 3: Skizze zum Auflösungsvermögen eines Prismenspektralapparates [1].

Für die Dispersion des Glasmaterials gilt nach Kapitel 3.1 Gl. (25):

$$n(\lambda) = \frac{\sin(\frac{\eta+\varphi}{2})}{\sin(\frac{\varphi}{2})} \quad (19)$$

Setzt man hier nun  $\lambda + \Delta\lambda$  ein, ergibt sich:

$$n(\lambda + \Delta\lambda) = n(\lambda) + \Delta\lambda \frac{dn}{d\lambda} \frac{\sin(\frac{\eta+\Delta\eta+\varphi}{2})}{\sin(\frac{\varphi}{2})} \quad (20)$$

Mithilfe der Näherungen  $\cos(\frac{\Delta\eta}{2}) \approx 1$ ,  $\sin(\frac{\Delta\eta}{2}) \approx \frac{\Delta\eta}{2}$  und  $\Delta\eta = \frac{\lambda}{s}$  lässt sich Gl. (20) umformen zu:

$$\frac{\lambda}{\Delta\lambda} = 2s \frac{dn}{d\lambda} \frac{\sin(\frac{\varphi}{2})}{\cos(\frac{\eta+\varphi}{2})} \quad (21)$$

Mithilfe der Winkelbeziehungen aus Grafik 3 aus den Dreiecken ABC und ACD ergibt sich für das Auflösungsvermögen:

$$\frac{\lambda}{\Delta\lambda} = b \frac{dn}{d\lambda} \quad (22)$$

### 3 Versuchsaufbau und Durchführung

#### 3.1 Beschreibung der Messapparatur

Um den Brechungsindex in Abhängigkeit von der Wellenlänge wird hier ein Prismenspektralapparat verwendet. Dieser besteht aus einem Glasprisma, durch welches der Lichtstrahl hindurchgeht. Dabei wird er bei einem Einfallswinkel von  $\neq 90^\circ$  zweimal gebrochen. Aus dem Winkel  $\eta$  der gesamten Richtungsänderung des Strahles lässt sich mithilfe des Snellius'schen Brechungsgesetzes 5 der Brechungsindex des Glases berechnen. Es genügt den Spezialfall eines symmetrischen Strahlenganges in Abb. 4 zu betrachten. Daraus lassen sich nun die folgenden Winkelbeziehungen ablesen.

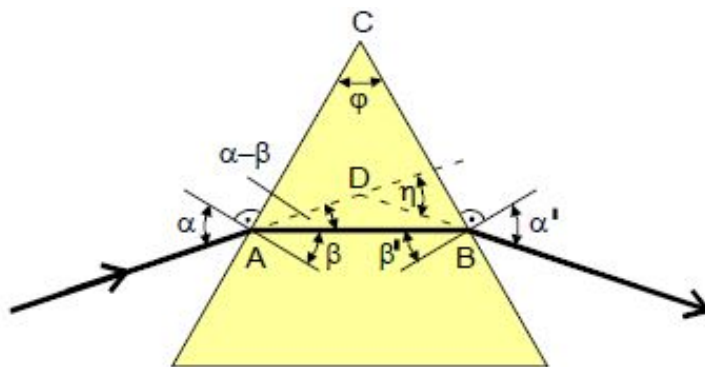


Abbildung 4: Symmetrischer Strahlengang durch ein Prisma [1]

$$\sphericalangle CAB = 90 - \frac{\phi}{2} = 90 - \beta \quad (23)$$

Weiterhin ergibt sich:

$$\alpha = \frac{\eta + \varphi}{2} \quad (24)$$

Nun ergibt sich mit Snellius:

$$n = \frac{\sin(\frac{\eta + \varphi}{2})}{\sin(\frac{\varphi}{2})} \quad (25)$$

Zur Bestimmung der Winkel wird ein Goniometer verwendet (Abb. 5).

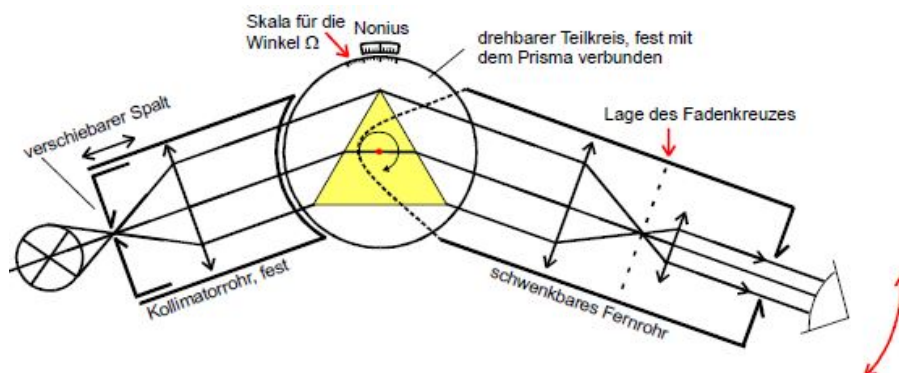


Abbildung 5: Schematische Darstellung eines Prismen-Spektralapparates [1]

Das Licht fällt durch einen Spalt auf eine Sammellinse, wodurch parallele Strahlen erzeugt werden (Kollimator). Das Prisma bricht das Licht und der gebrochene Strahl gelangt in das Fernrohr. Die dortige Objektivlinse entwirft ein reelles Spaltbild in ihrer

Brennebene und dieses kann mithilfe des Okulars beobachtet werden. In der Brennebene des Objektivs ist ein Fadenkreuz angebracht und dieses kann durch Schwenken des Fernrohres um die Goniometerachse mit dem Spaltbild zur Deckung gebracht werden kann.

### 3.2 Beschreibung des Messvorganges

Nachdem ein scharfes Spaltbild im Fernrohr beobachtet wird, können die Größen  $\varphi$  und  $\eta$  gemessen werden.

### 3.3 $\varphi$ -Messung

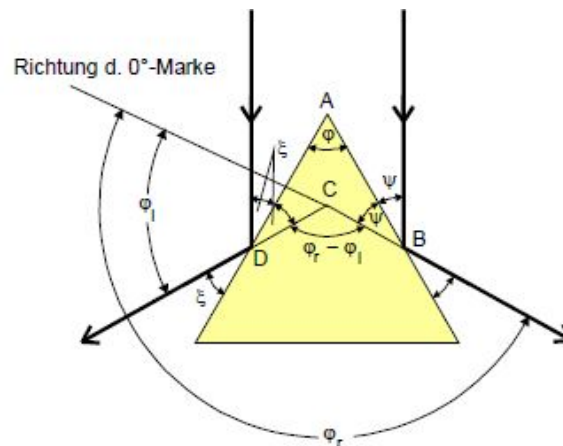


Abbildung 6: Skizze zur Bestimmung des Winkels  $\varphi$  zwischen den brechenden Oberflächen. [1]

Zur Messung des brechenden Winkels  $\varphi$  wird das Prisma mit seiner brechenden Kante ungefähr auf das Kollimatorrohr ausgerichtet (Abb. 6).

Das Fadenkreuz wird auf die Maxima der gebrochenen Strahlen gelegt und der dazugehörige Winkel  $\varphi_l$  notiert. Nun wird das Fernrohr auf die andere Seite gefahren und das Verfahren wiederholt. Dort werden die Winkel  $\varphi_r$  notiert.

Für den Winkel  $\varphi$  ergibt sich:

$$\varphi = \frac{1}{2}(\varphi_r - \varphi_l) \quad (26)$$

#### 3.3.1 $\eta$ -Messung

Nun kann der Winkel  $\eta$  des Strahlenganges berechnet werden. Für diese Messung muss ein symmetrischer Strahlengang vorliegen (Abb. 7). Um diese Einstellung zu finden, muss die Stellung des Prismas solange um die Goniometerachse verändert werden, bis der reflektierte und der gebrochene Strahlengang zusammenfallen. Die Winkelstellung  $\Omega_l$  des Fernrohres wird notiert.



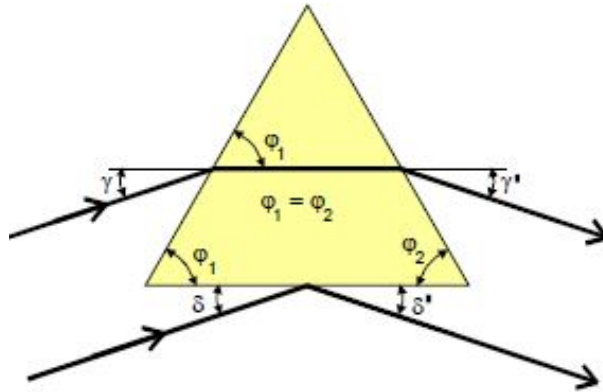


Abbildung 7: Verlauf des reflektierten und des gebrochenen Strahls bei einem symmetrischen Strahlengang an einem gleichschenkligen Prisma [1].

Die Richtung des ungebrochenen Strahls ist nicht mit hinreichender Genauigkeit bekannt, weshalb die Messung bei einer spiegelsymmetrischen Stellung des Prismas wiederholt wird. Der neue Winkel  $\Omega_r$  wird notiert.

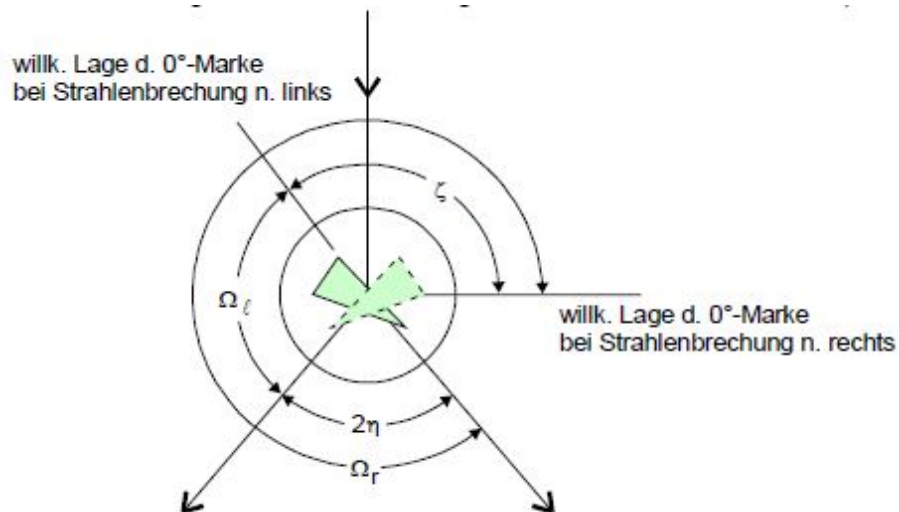


Abbildung 8: Darstellung der Messgrößen  $\Omega_l$  und  $\Omega_r$  in Zusammenhang mit den beiden spiegelbildchen Prismenstellungen. [1]

Aus den Beziehungen in Abb. 8 ergibt sich für den Winkel  $\eta$ :

$$\eta = 180 - (\Omega_r - \Omega_l) \quad (27)$$

## 4 Auswertung

### 4.1 Brechungsindizes $n_i$ in Abhängigkeit der Wellenlänge $\lambda$

Zunächst werden aus den Messdaten, die in Tabellen 2 und 3 aufgeführt sind, die Winkel  $\varphi$  und  $\eta$  bestimmt. Die Mittelung über die Daten aller Wellenlängen  $\lambda$  liefert mit Gleichung (26):

$$\varphi = (69,7 \pm 1,1)^\circ.$$

Aus dem Versuchsaufbau geht jedoch hervor, dass alle Winkel des Prismas etwa  $\varphi = 60^\circ$  betragen müssen. Weil dieser Wert den tatsächlichen Aufbau des Prismas offensichtlich besser widerspiegelt, wird im Folgenden damit weitergerechnet. Die resultierenden Werte der Brechungsindizes wird mit  $n_{\text{opt}}$  gekennzeichnet. Auf die Abweichung des gemessenen Wertes zum optimalen Wert wird in der Diskussion (5) eingegangen.

Die Messwerte liefern anschließend mit Gleichung (25) die in Tabelle 1 aufgeführten Brechungsindizes  $n_{\text{opt}}$  und  $n$ :

Tabelle 1: Werte des Brechungsindex bei verschiedenen Wellenlängen  $\lambda$

Farbe	$\lambda[\text{nm}]$	$n_{\text{opt}}$	$n$
gelb	578,0	1,657	1,528
grün	546,1	1,652	1,524
blaugrün	591,6	1,645	1,519
violett	404,7	1,634	1,511
ultraviolett	365,0	1,627	1,505
ultraviolett	366,3	1,625	1,504

Tabelle 2: Messwerte zur Bestimmung von  $\varphi$

Farbe	$\lambda[\text{nm}]$	$\varphi_l[^\circ]$	$\varphi_r[^\circ]$	$\varphi[^\circ]$
gelb	578,0	97,2	239,2	71,0
grün	546,1	97,8	239,0	70,6
blaugrün	591,6	98,0	238,4	70,2
violett	404,7	99,0	237,6	69,3
ultraviolett	365,0	99,4	236,4	68,5
ultraviolett	366,3	99,6	236,2	68,3

Tabelle 3: Messwerte zur Bestimmung von  $\eta$

Farbe	$\lambda[\text{nm}]$	$\Omega_l[^\circ]$	$\Omega_r[^\circ]$	$\eta[^\circ]$
gelb	578,0	53,4	285,3	51,9
grün	546,1	53,6	285,0	51,4
blaugrün	591,6	54,0	284,7	50,7
violett	404,7	54,5	284,1	49,6
ultraviolett	365,0	54,9	283,8	48,9
ultraviolett	366,3	55,0	283,7	48,7

## 4.2 Bestimmung der Dispersionsgleichung und deren Parameter $A_i$

Es werden zwei nichtlineare Ausgleichsrechnung der  $\lambda$ -  $n^2$ - Wertepaare, für Dispersionsgleichungen (15) und (16) durchgeführt. Die Ausgleichsrechnung liefert die Koeffizienten  $A_i$  und  $A'_i$ , sowie deren Fehler  $\Delta A$ .

Daraus lassen sich die Abweichungsquadrate bei einer Anzahl von  $z$  Messwerten wie folgt berechnen:

$$s^2 = \frac{1}{z-2} \sum_{i=1}^z \left( n^2(\lambda_i) - A_0 - \frac{A_2}{\lambda_i^2} \right)^2 ,$$

$$s'^2 = \frac{1}{z-2} \sum_{i=1}^z \left( n^2(\lambda_i) - A'_0 + A'_2 \cdot \lambda_i^2 \right)^2 .$$

Die Ausgleichsrechnung liefert die Koeffizienten

$$\begin{aligned} A_0 &= 2,65 \pm 0,09 \quad , \\ A_2 &= (-8,25 \pm 40,96) \cdot 10^{-15} \text{ m}^2 \quad A'_2 = -6,14 \cdot 10^{12} \pm \infty , \\ A_4 &= (2,60 \pm 3,95) \cdot 10^{-27} \text{ m}^4 \quad A'_4 = 1 \pm \infty . \end{aligned}$$

Bei den gestrichenen Koeffizienten ist zu bemerken, dass der Fehler die Größenbegrenzung des Rechnerspeichers für Fließkommazahlen erreicht hat und daher einen unendlichen Wert liefert. Dieser Wert hat keine physikalische Bedeutung, deutet aber schon darauf hin, dass die entsprechende Dispersionsgleichung nicht in der Lage ist, den vorliegenden Aufbau zu beschreiben. Das wird deutlicher, wenn man die Abweichungsquadrate berechnet:

$$\begin{aligned} s^2 &= 0,0136 , \\ s'^2 &= 5,66 \cdot 10^{25} . \end{aligned}$$

Weil die Abweichung  $s'^2$  für Gleichung (16) größer, als  $s^2$  ist, wird die hier auftretende Dispersion durch Gleichung (15) beschrieben. Die folgenden Abbildungen zeigen die Messwerte, sowie den Verlauf der Dispersionsgleichung.

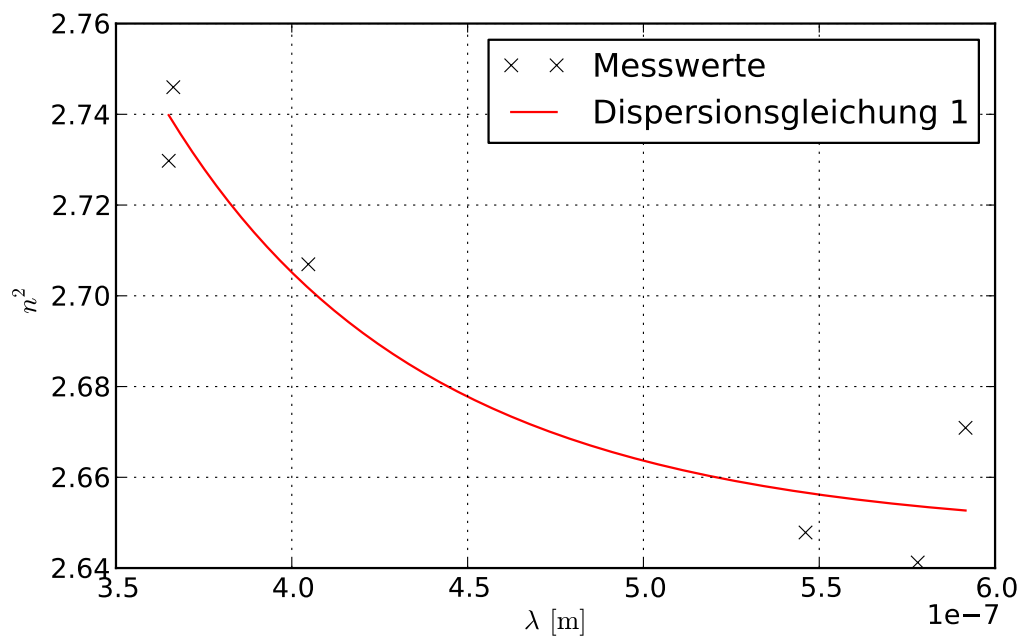


Abbildung 9: Ausgleichskurve mit Hilfe von Gleichung (15)

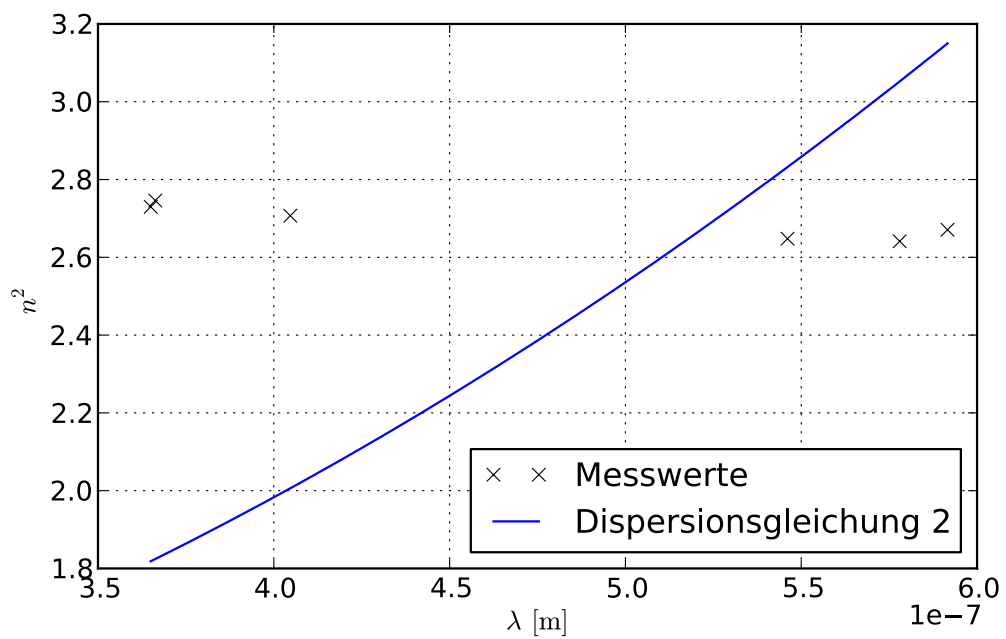


Abbildung 10: Ausgleichskurve mit Hilfe von Gleichung (16)

### 4.3 Berechnung der Abbeschen Zahl $\nu$

Mit Gleichung (17) und Kenntnis der Koeffizienten  $A_0$  bis  $A_4$  aus Kapitel 4.2 lässt sich die Abbesche Zahl bestimmen. Die Dispersionsgleichung liefert zunächst

$$\begin{aligned}n_{\text{C}} &= 1,6278, \\n_{\text{D}} &= 1,6288, \\n_{\text{F}} &= 1,6330.\end{aligned}$$

Daraus folgt

$$\nu = 121,5.$$

### 4.4 Das Auflösungsvermögen $A$ des Prismas

Wie in Kapitel 3 gezeigt, gilt mit einer Basisbreite  $b$  des Prismas für das Auflösungsvermögen:

$$A = \frac{\lambda}{\Delta\lambda} = b \frac{\partial n}{\partial \lambda}.$$

Mit der hier genutzten Dispersionsgleichung (15) folgt

$$A = b \left( \frac{2A_2}{\lambda^3} + \frac{4A_4}{\lambda^5} \right).$$

Bei einer Basislänge  $b = 3 \text{ cm}$  folgt für das Auflösungsvermögen des hier vorliegenden Prismas bei den Fraunhoferwellenlängen  $\lambda_{\text{C}} = 656 \text{ nm}$  und  $\lambda_{\text{F}} = 486 \text{ nm}$ :

$$\begin{aligned}A_{\text{C}} &= 820, \\A_{\text{F}} &= 7216.\end{aligned}$$

#### 4.5 Berechnung des nächsten Absorptionspunktes $\lambda_1$

Durch Koeffizientenvergleich in Formeln (15) und (14) erhält man

$$\begin{aligned}A_0 &= 1 + \frac{N_1 q_1^2 \lambda_1^2}{4\pi^2 c^2 \epsilon_0 m_1}, \\A_2 &= \lambda_1^2 (A_0 - 1), \\A_4 &= \lambda_1^4 (A_0 - 1), \\ \Rightarrow \lambda_1 &= \sqrt{\frac{A_2}{A_0 - 1}}, \\ \lambda_1 &= \left( \frac{A_4}{A_0 - 1} \right)^{\frac{1}{4}}.\end{aligned}$$

Mit den Koeffizienten  $A_0$ ,  $A_2$  und  $A_4$  aus Kapitel 4.2 lassen sich also zwei Werte  $\lambda_1$  finden. Daher wird ein Mittelwert gebildet:

$$\overline{\lambda_1} = (134,9 \pm 2,5) \text{ nm}.$$

### 5 Diskussion

Zunächst muss festgehalten werden, dass die Durchführung dieses Versuchs einige Schwierigkeiten beinhaltet. Bei Drehung des Fernrohrs, wurde das Prisma oft unbeabsichtigt mitgedreht, was teilweise große Messfehler zur Folge hatte und weshalb eine Messung wiederholt werden musste.

Der Wert des Prismainnenwinkels  $\varphi = 71^\circ$  stimmt offensichtlich nicht mit dem tatsächlichen Aufbau des Prismas überein und weist damit auf einen Systematischen Fehler des Aufbaus hin.

Die daraus basierenden Werte für den Brechungsindex weichen dennoch nur etwa um 10 % von den mit Hilfe des tatsächlichen Prismenwinkels berechneten Werten ab. Die Werte des Brechungsindex selbst stimmen relativ gut mit dem erwarteten Wert von etwa  $n = 2$  überein.

### Literatur

- [1] Physikalisches Anfängerpraktikum der TU Dortmund: Versuch V402 - Dispersion am Glasprisma. <http://129.217.224.2/HOME/PAGE/PHYSIKER/BACHELOR/AP/SKRIPT/V402.pdf>. Stand: Mai 2013.
- [2] <http://www.zeiss.de/4125680F0052EC92/Contents-Frame/40FF5667B79376E841256865003C3E85> Stand: Mai 2013